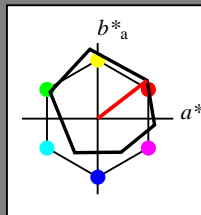


**Eingabe: Farbmatisches Offset-Reflektiv-System ORS18**

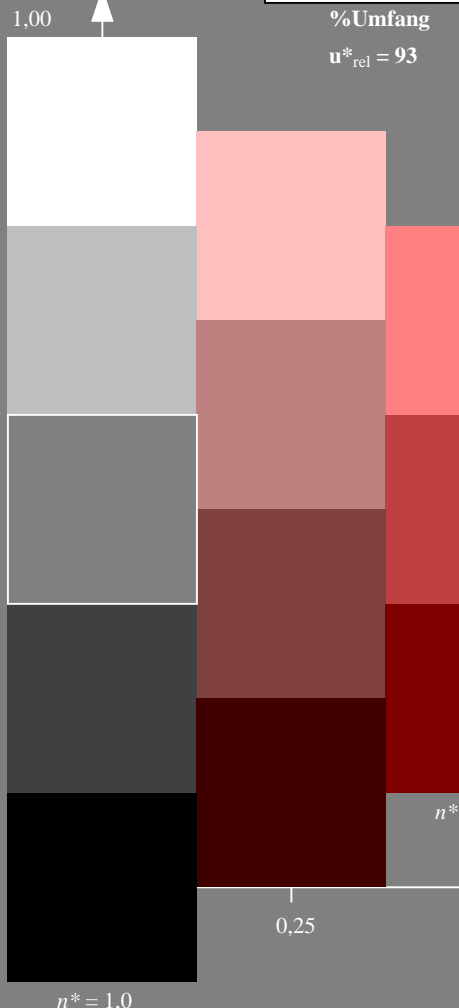
für Buntton  $h^* = lab^*h = 38/360 = 0.105$   
 $lab^*tch$  und  $lab^*nch$

D65: Buntton O  
 LCH\*Ma: 48 83 38  
 olv\*Ma: 1.0 0.0 0.0

Dreiecks-Helligkeit



$u^*_{rel} = 93$



**ORS18; adaptierte CIELAB-Daten**

	$L^* = L^*_a$	$a^*_a$	$b^*_a$	$C^*_{ab,a}$	$h^*_{ab,a}$
O <sub>Ma</sub>	47.94	65.39	50.52	82.63	38
Y <sub>Ma</sub>	90.37	-10.26	91.75	92.32	96
L <sub>Ma</sub>	50.9	-62.83	34.96	71.91	151
C <sub>Ma</sub>	58.62	-30.34	-45.01	54.3	236
V <sub>Ma</sub>	25.72	31.1	-44.4	54.22	305
M <sub>Ma</sub>	48.13	75.28	-8.36	75.74	354
N <sub>Ma</sub>	18.01	0.0	0.0	0.0	0
W <sub>Ma</sub>	95.41	0.0	0.0	0.0	0
R <sub>CIE</sub>	39.92	58.66	26.98	64.57	25
J <sub>CIE</sub>	81.26	-2.16	67.76	67.79	92
G <sub>CIE</sub>	52.23	-42.25	11.76	43.87	164
B <sub>CIE</sub>	30.57	1.15	-46.84	46.86	271

%Regularität

$g^*_{H,rel} = 57$

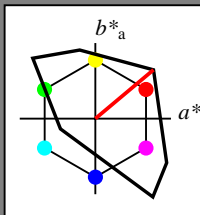
$g^*_{C,rel} = 59$

**Ausgabe: Farbmatisches Fernseh-Licht-System TLS00**

für Buntton  $h^* = lab^*h = 40/360 = 0.111$   
 $lab^*tch$  und  $lab^*nch$

D65: Buntton O  
 LCH\*Ma: 51 100 40  
 olv\*Ma: 1.0 0.0 0.0

Dreiecks-Helligkeit



$u^*_{rel} = 158$

**TLS00; adaptierte CIELAB-Daten**

	$L^* = L^*_a$	$a^*_a$	$b^*_a$	$C^*_{ab,a}$	$h^*_{ab,a}$
O <sub>Ma</sub>	50.5	76.92	64.55	100.42	40
Y <sub>Ma</sub>	92.66	-20.69	90.75	93.08	103
L <sub>Ma</sub>	83.63	-82.75	79.9	115.04	136
C <sub>Ma</sub>	86.88	-46.16	-13.55	48.12	196
V <sub>Ma</sub>	30.39	76.06	-103.59	128.52	306
M <sub>Ma</sub>	57.3	94.35	-58.41	110.97	328
N <sub>Ma</sub>	0.01	0.0	0.0	0.0	0
W <sub>Ma</sub>	95.41	0.0	0.0	0.0	0
R <sub>CIE</sub>	39.92	58.74	27.99	65.07	25
J <sub>CIE</sub>	81.26	-2.88	71.56	71.62	92
G <sub>CIE</sub>	52.23	-42.41	13.6	44.55	162
B <sub>CIE</sub>	30.57	1.41	-46.46	46.49	272

%Regularität

$g^*_{H,rel} = 20$

$g^*_{C,rel} = 37$

relative Inform. Technology (IT)

obv3\* 1.0 1.0 1.0 (1.0)  
 cmy3\* 0.0 0.0 0.0 (0.0)  
 olv3\* 1.0 1.0 1.0 (1.0)  
 cmy3\* 0.0 0.0 0.0 (0.0)

standard and adapted CIELAB

LAB\*LAB 95.41 0.0 0.0  
 LAB\*LABa 95.41 0.0 0.0  
 LAB\*TCHa 99.99 0.01 -

relative CIELAB lab\*

lab\*lab 1.0 0.0 0.0  
 lab\*tch 1.0 0.0 0.0  
 lab\*nch 0.0 0.0 -

relative Natural Colour (NC)

lab\*nrj 1.0 0.0 0.0  
 lab\*nce 1.0 0.0 -  
 lab\*nce 0.0 0.0 -

relative Inform. Technology (IT)

obv3\* 0.75 0.75 0.75 (1.0)  
 cmy3\* 0.25 0.25 0.25 (0.0)  
 olv3\* 1.0 1.0 1.0 (1.0)  
 cmy3\* 0.0 0.0 0.0 (0.0)

standard and adapted CIELAB

LAB\*LAB 71.57 0.0 0.0  
 LAB\*LABa 71.57 0.0 0.0  
 LAB\*TCHa 75.0 0.01 -

relative CIELAB lab\*

lab\*lab 0.75 0.5 0.0  
 lab\*tch 0.75 0.0 -  
 lab\*nch 0.25 0.0 -

relative Natural Colour (NC)

lab\*nrj 0.75 0.0 0.0  
 lab\*nce 0.75 0.0 -  
 lab\*nce 0.25 0.0 -

relative Inform. Technology (IT)

obv3\* 0.5 0.5 0.5 (1.0)  
 cmy3\* 0.5 0.5 0.5 (0.0)  
 olv3\* 1.0 1.0 1.0 (1.0)  
 cmy3\* 0.0 0.0 0.0 (0.0)

standard and adapted CIELAB

LAB\*LAB 47.72 0.0 0.0  
 LAB\*LABa 47.72 0.0 0.0  
 LAB\*TCHa 50.0 0.01 -

relative CIELAB lab\*

lab\*lab 0.5 0.0 0.0  
 lab\*tch 0.5 0.0 -  
 lab\*nch 0.0 0.0 -

relative Natural Colour (NC)

lab\*nrj 0.5 0.0 0.0  
 lab\*nce 0.5 0.0 -  
 lab\*nce 0.0 0.0 -

relative Inform. Technology (IT)

obv3\* 0.25 0.25 0.25 (1.0)  
 cmy3\* 0.75 0.75 0.75 (0.0)  
 olv3\* 1.0 1.0 1.0 (1.0)  
 cmy3\* 0.0 0.0 0.0 (0.0)

standard and adapted CIELAB

LAB\*LAB 23.87 0.0 0.0  
 LAB\*LABa 23.87 0.0 0.0  
 LAB\*TCHa 25.0 0.01 -

relative CIELAB lab\*

lab\*lab 0.25 0.0 0.0  
 lab\*tch 0.25 0.0 -  
 lab\*nch 0.0 0.0 -

relative Natural Colour (NC)

lab\*nrj 0.25 0.0 0.0  
 lab\*nce 0.25 0.0 -  
 lab\*nce 0.0 0.0 -

relative Inform. Technology (IT)

obv3\* 0.0 0.0 0.0 (1.0)  
 cmy3\* 1.0 1.0 1.0 (0.0)  
 olv3\* 1.0 1.0 1.0 (1.0)  
 cmy3\* 0.0 0.0 0.0 (0.0)

standard and adapted CIELAB

LAB\*LAB 0.03 0.0 0.0  
 LAB\*LABa 0.03 0.0 0.0  
 LAB\*TCHa 0.0 0.01 -

relative CIELAB lab\*

lab\*lab 0.0 0.0 0.0  
 lab\*tch 0.0 0.0 0.0  
 lab\*nch 1.0 0.0 0.0

relative Natural Colour (NC)

lab\*nrj 0.0 0.0 0.0  
 lab\*nce 0.0 0.0 -  
 lab\*nch 1.0 0.0 -

relative Inform. Technology (IT)

obv3\* 1.0 0.75 0.75 (1.0)  
 cmy3\* 0.0 0.25 0.25 (0.0)  
 olv3\* 1.0 0.75 0.75 (1.0)  
 cmy3\* 0.0 0.25 0.25 (0.0)

standard and adapted CIELAB

LAB\*LAB 84.18 19.22 16.13  
 LAB\*LABa 84.18 19.22 16.13  
 LAB\*TCHa 87.5 25.09 40.0

relative CIELAB lab\*

lab\*lab 0.882 0.191 0.161  
 lab\*tch 0.875 0.25 0.111  
 lab\*nch 0.0 0.25 0.111

relative Natural Colour (NC)

lab\*nrj 0.882 0.235 0.084  
 lab\*nce 0.875 0.25 0.054  
 lab\*nce 0.0 0.25 0.21

relative Inform. Technology (IT)

obv3\* 0.75 0.5 0.5 (1.0)  
 cmy3\* 0.25 0.5 0.5 (0.0)  
 olv3\* 1.0 0.75 0.75 0.75  
 cmy3\* 0.0 0.5 0.5 0.25

standard and adapted CIELAB

LAB\*LAB 60.33 19.23 16.14  
 LAB\*LABa 60.33 19.23 16.14  
 LAB\*TCHa 62.5 25.1 40.0

relative CIELAB lab\*

lab\*lab 0.632 0.192 0.161  
 lab\*tch 0.625 0.25 0.111  
 lab\*nch 0.25 0.25 0.111

relative Natural Colour (NC)

lab\*nrj 0.632 0.236 0.084  
 lab\*nce 0.625 0.25 0.054  
 lab\*nce 0.25 0.25 0.21

relative Inform. Technology (IT)

obv3\* 0.5 0.75 0.75 (0.0)  
 cmy3\* 0.5 0.75 0.75 (0.0)  
 olv3\* 1.0 0.75 0.75 0.5  
 cmy3\* 0.0 0.25 0.25 0.5

standard and adapted CIELAB

LAB\*LAB 36.48 19.23 16.14  
 LAB\*LABa 36.48 19.23 16.14  
 LAB\*TCHa 37.5 25.1 40.0

relative CIELAB lab\*

lab\*lab 0.382 0.192 0.161  
 lab\*tch 0.375 0.25 0.111  
 lab\*nch 0.5 0.25 0.111

relative Natural Colour (NC)

lab\*nrj 0.382 0.236 0.084  
 lab\*nce 0.375 0.25 0.054  
 lab\*nce 0.5 0.25 0.21

relative Inform. Technology (IT)

obv3\* 0.25 0.0 0.0 (1.0)  
 cmy3\* 0.75 1.0 1.0 (0.0)  
 olv3\* 1.0 0.75 0.75 0.25  
 cmy3\* 0.0 0.25 0.25 0.75

standard and adapted CIELAB

LAB\*LAB 12.64 19.22 16.13  
 LAB\*LABa 12.64 19.22 16.13  
 LAB\*TCHa 12.5 25.09 40.0

relative CIELAB lab\*

lab\*lab 0.132 0.191 0.161  
 lab\*tch 0.125 0.25 0.111  
 lab\*nch 0.75 0.25 0.111

relative Natural Colour (NC)

lab\*nrj 0.132 0.235 0.084  
 lab\*nce 0.125 0.25 0.054  
 lab\*nce 0.75 0.25 0.21

relative Inform. Technology (IT)

obv3\* 1.0 0.5 0.5 (1.0)  
 cmy3\* 0.0 0.5 0.5 (0.0)  
 olv3\* 1.0 0.5 0.5 (1.0)  
 cmy3\* 0.0 0.5 0.5 (0.0)

standard and adapted CIELAB

LAB\*LAB 72.95 38.45 32.27  
 LAB\*LABa 72.95 38.45 32.27  
 LAB\*TCHa 75.0 50.2 40.0

relative CIELAB lab\*

lab\*lab 0.765 0.383 0.321  
 lab\*tch 0.75 0.5 0.111  
 lab\*nch 0.0 0.5 0.111

relative Natural Colour (NC)

lab\*nrj 0.765 0.471 0.167  
 lab\*nce 0.75 0.5 0.054  
 lab\*nce 0.0 0.5 0.21

relative Inform. Technology (IT)

obv3\* 0.75 0.25 0.25 (1.0)  
 cmy3\* 0.25 0.75 0.75 (0.0)  
 olv3\* 1.0 0.5 0.5 0.75  
 cmy3\* 0.0 0.5 0.5 0.25

standard and adapted CIELAB

LAB\*LAB 49.11 38.46 32.28  
 LAB\*LABa 49.11 38.46 32.28  
 LAB\*TCHa 50.0 50.2 40.0

relative CIELAB lab\*

lab\*lab 0.583 0.383 0.321  
 lab\*tch 0.5 0.5 0.111  
 lab\*nch 0.25 0.5 0.111

relative Natural Colour (NC)

lab\*nrj 0.515 0.471 0.167  
 lab\*nce 0.5 0.5 0.054  
 lab\*nce 0.25 0.5 0.21

relative Inform. Technology (IT)

obv3\* 0.5 1.0 1.0 (0.0)  
 cmy3\* 0.5 1.0 1.0 (0.0)  
 olv3\* 1.0 0.5 0.5 1.0  
 cmy3\* 0.0 0.5 0.5 1.0

standard and adapted CIELAB

LAB\*LAB 25.26 38.45 32.27  
 LAB\*LABa 25.26 38.45 32.27  
 LAB\*TCHa 25.01 50.2 40.0

relative CIELAB lab\*

lab\*lab 0.285 0.383 0.321  
 lab\*tch 0.25 0.5 0.111  
 lab\*nch 0.5 0.5 0.111

relative Natural Colour (NC)

lab\*nrj 0.285 0.471 0.167  
 lab\*nce 0.25 0.5 0.054  
 lab\*nce 0.5 0.5 0.21

relative Inform. Technology (IT)

obv3\* 0.75 0.0 0.0 (1.0)  
 cmy3\* 0.25 1.0 1.0 (0.0)  
 olv3\* 1.0 0.25 0.25 1.0  
 cmy3\* 0.0 0.75 0.75 0.0

standard and adapted CIELAB

LAB\*LAB 61.72 57.68 48.41  
 LAB\*LABa 61.72 57.68 48.41  
 LAB\*TCHa 62.5 75.3 40.0

relative CIELAB lab\*

lab\*lab 0.647 0.574 0.482  
 lab\*tch 0.625 0.75 0.111  
 lab\*nch 0.0 0.75 0.111

relative Natural Colour (NC)

lab\*nrj 0.647 0.707 0.251  
 lab\*nce 0.625 0.75 0.054  
 lab\*nce 0.0 0.75 0.21

relative Inform. Technology (IT)

obv3\* 0.5 0.0 0.0 (1.0)  
 cmy3\* 0.5 1.0 1.0 (0.0)  
 olv3\* 1.0 0.5 0.5 1.0  
 cmy3\* 0.0 0.5 0.5 1.0

standard and adapted CIELAB

LAB\*LAB 50.5 76.9 64.54  
 LAB\*LABa 50.5 76.9 64.54  
 LAB\*TCHa 50.0 100.4 40.0

relative CIELAB lab\*

lab\*lab 0.529 0.766 0.643  
 lab\*tch 0.5 1.0 0.111  
 lab\*nch 0.0 1.0 0.111

relative Natural Colour (NC)

lab\*nrj 0.529 0.942 0.335  
 lab\*nce 0.5 1.0 0.054  
 lab\*nce 0.0 1.0 0.21

relative Inform. Technology (IT)

obv3\* 1.0 0.0 0.0 (1.0)  
 cmy3\* 0.0 1.0 1.0 (0.0)  
 olv3\* 1.0 0.0 0.0 1.0  
 cmy3\* 0.0 0.0 0.0 1.0

standard and adapted CIELAB

LAB\*LAB 0.03 0.0 0.0  
 LAB\*LABa 0.03 0.0 0.0  
 LAB\*TCHa 0.0 0.0 0.01

relative CIELAB lab\*

lab\*lab 0.0 0.0 0.0  
 lab\*tch 0.0 0.0 0.0  
 lab\*nch 1.0 0.0 0.0

relative Natural Colour (NC)

lab\*nrj 0.0 0.0 0.0  
 lab\*nce 0.0 0.0 0.0  
 lab\*nch 1.0 0.0 0.0

NG400-7, 5stufige Reihen für konstanten CIELAB Buntton 38/360 = 0.105 (links)

5stufige Reihen für konstanten CIELAB Buntton 40/360 = 0.111 (rechts)

BAM-Prüfvorlage NG40; Farbmeter-Systeme ORS18 & TLS00 input:  $olv^* setrgbcolor$   
 D65: 5stufige Farbreihen und Koordinatendaten für 10 Bunttöne output:  $olv^* setrgbcolor / w^* setgray$

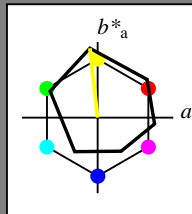
BAM-Registrierung: 20060101-NG40/10L/L40G00FP.PS/.PDF BAM-Material: Code=thakta  
 Anwendung für Beurteilung und Messung von Drucker- oder Monitorssystemen  
 Form: 1/10, Serie: 1/1, Seite: 1  
 Scherzhang 1

**Eingabe: Farbmatisches Offset-Reflektiv-System ORS18**

für Buntton  $h^* = lab^*h = 96/360 = 0.268$   
 $lab^*tch$  und  $lab^*nch$

D65: Buntton Y  
 LCH\*Ma: 90 92 96  
 olv\*Ma: 1.0 1.0 0.0

Dreiecks-Helligkeit



**ORS18; adaptierte CIELAB-Daten**

	$L^* = L^*_a$	$a^*_a$	$b^*_a$	$C^*_{ab,a}$	$h^*_{ab,a}$
O <sub>Ma</sub>	47.94	65.39	50.52	82.63	38
Y <sub>Ma</sub>	90.37	-10.26	91.75	92.32	96
L <sub>Ma</sub>	50.9	-62.83	34.96	71.91	151
C <sub>Ma</sub>	58.62	-30.34	-45.01	54.3	236
V <sub>Ma</sub>	25.72	31.1	-44.4	54.22	305
M <sub>Ma</sub>	48.13	75.28	-8.36	75.74	354
N <sub>Ma</sub>	18.01	0.0	0.0	0.0	0
W <sub>Ma</sub>	95.41	0.0	0.0	0.0	0
R <sub>CIE</sub>	39.92	58.66	26.98	64.57	25
J <sub>CIE</sub>	81.26	-2.16	67.76	67.79	92
G <sub>CIE</sub>	52.23	-42.25	11.76	43.87	164
B <sub>CIE</sub>	30.57	1.15	-46.84	46.86	271

%Regularität

$g^*_{H,rel} = 57$

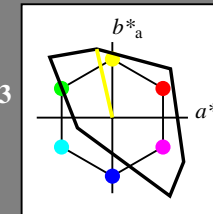
$g^*_{C,rel} = 59$

**Ausgabe: Farbmatisches Fernseh-Licht-System TLS00**

für Buntton  $h^* = lab^*h = 103/360 = 0.286$   
 $lab^*tch$  und  $lab^*nch$

D65: Buntton Y  
 LCH\*Ma: 93 93 103  
 olv\*Ma: 1.0 1.0 0.0

Dreiecks-Helligkeit



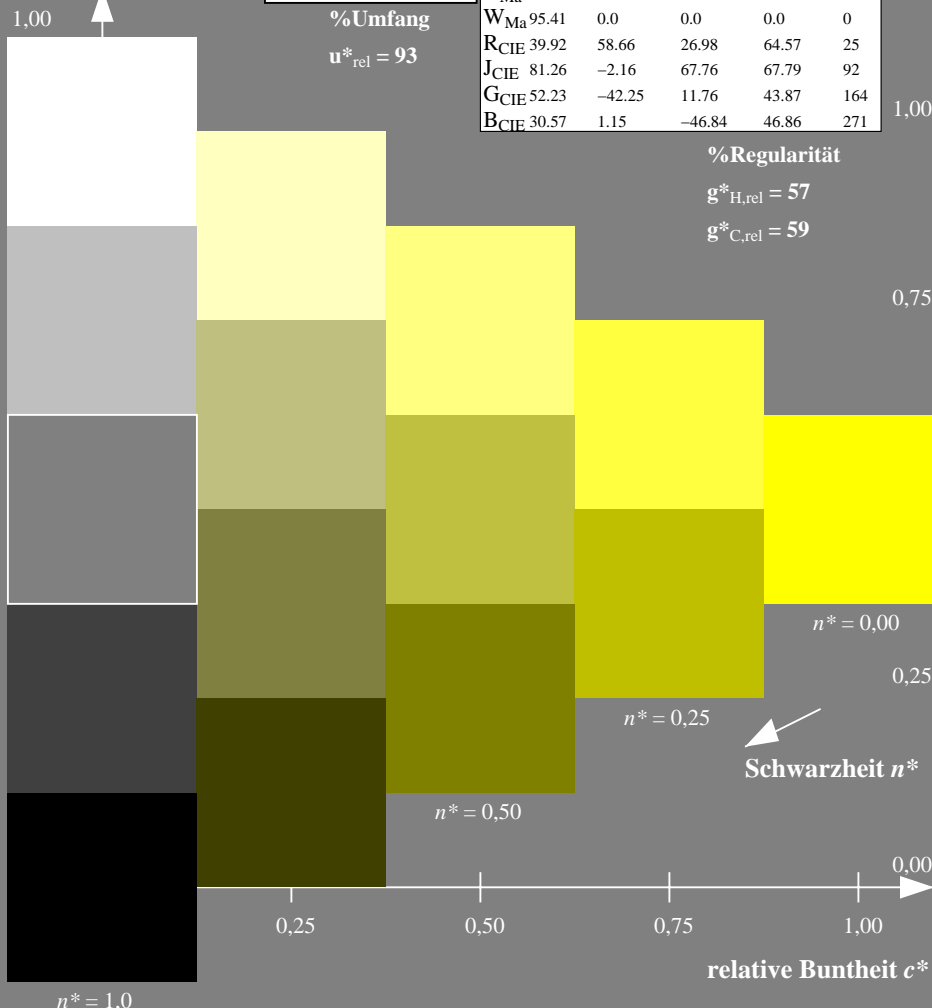
**TLS00; adaptierte CIELAB-Daten**

	$L^* = L^*_a$	$a^*_a$	$b^*_a$	$C^*_{ab,a}$	$h^*_{ab,a}$
O <sub>Ma</sub>	50.5	76.92	64.55	100.42	40
Y <sub>Ma</sub>	92.66	-20.69	90.75	93.08	103
L <sub>Ma</sub>	83.63	-82.75	79.9	115.04	136
C <sub>Ma</sub>	86.88	-46.16	-13.55	48.12	196
V <sub>Ma</sub>	30.39	76.06	-103.59	128.52	306
M <sub>Ma</sub>	57.3	94.35	-58.41	110.97	328
N <sub>Ma</sub>	0.01	0.0	0.0	0.0	0
W <sub>Ma</sub>	95.41	0.0	0.0	0.0	0
R <sub>CIE</sub>	39.92	58.74	27.99	65.07	25
J <sub>CIE</sub>	81.26	-2.88	71.56	71.62	92
G <sub>CIE</sub>	52.23	-42.41	13.6	44.55	162
B <sub>CIE</sub>	30.57	1.41	-46.46	46.49	272

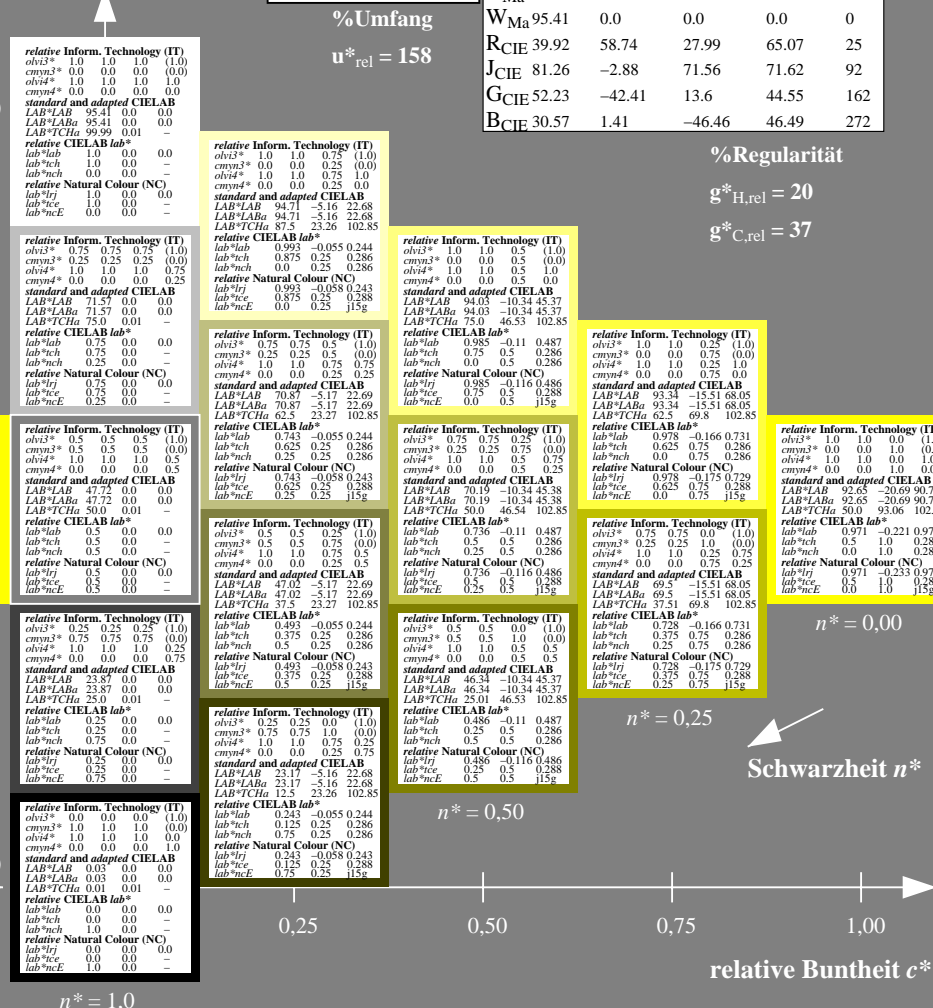
%Regularität

$g^*_{H,rel} = 20$

$g^*_{C,rel} = 37$



NG400-7, 5stufige Reihen für konstanten CIELAB Buntton 96/360 = 0.268 (links)



5stufige Reihen für konstanten CIELAB Buntton 103/360 = 0.286 (rechts)

BAM-Prüfvorlage NG40; Farbmatrik-Systeme ORS18 & TLS00 input:  $olv^* setrgbcolor$   
 D65: 5stufige Farbreihen und Koordinatendaten für 10 Bunttöne output:  $olv^* setrgbcolor / w^* setgray$

Siehe ähnliche Dateien: <http://www.ps.bam.de/NG40/>  
 Technische Information: <http://www.ps.bam.de/Version 2.1, io=1.1, CIELAB>

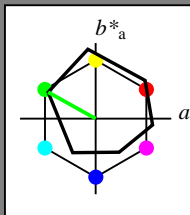
BAM-Registrierung: 20060101-NG40/10L/L40G01FP.PS/.PDF BAM-Material: Code=thakta  
 Anwendung für Beurteilung und Messung von Drucker- oder Monitorssystemen

**Eingabe: Farbmetrisches Offset-Reflektiv-System ORS18**

für Buntton  $h^* = lab^*h = 151/360 = 0.419$   
 $lab^*tch$  und  $lab^*nch$

D65: Buntton L  
 LCH\*Ma: 51 72 151  
 olv\*Ma: 0.0 1.0 0.0

Dreiecks-Helligkeit



%Umfang

$u^*_{rel} = 93$

1,00

↑

1,00

↑

0,75

↑

0,50

↑

0,25

↑

0,00

↑

0,00

↑

0,00

↑

0,00

↑

0,00

↑

0,00

↑

0,00

↑

0,00

↑

0,00

↑

0,00

↑

0,00

↑

0,00

↑

0,00

↑

0,00

↑

0,00

**ORS18; adaptierte CIELAB-Daten**

	$L^* = L^*_a$	$a^*_a$	$b^*_a$	$C^*_{ab,a}$	$h^*_{ab,a}$
O <sub>Ma</sub>	47.94	65.39	50.52	82.63	38
Y <sub>Ma</sub>	90.37	-10.26	91.75	92.32	96
L <sub>Ma</sub>	50.9	-62.83	34.96	71.91	151
C <sub>Ma</sub>	58.62	-30.34	-45.01	54.3	236
V <sub>Ma</sub>	25.72	31.1	-44.4	54.22	305
M <sub>Ma</sub>	48.13	75.28	-8.36	75.74	354
N <sub>Ma</sub>	18.01	0.0	0.0	0.0	0
W <sub>Ma</sub>	95.41	0.0	0.0	0.0	0
R <sub>CIE</sub>	39.92	58.66	26.98	64.57	25
J <sub>CIE</sub>	81.26	-2.16	67.76	67.79	92
G <sub>CIE</sub>	52.23	-42.25	11.76	43.87	164
B <sub>CIE</sub>	30.57	1.15	-46.84	46.86	271

%Regularität

$g^*_{H,rel} = 57$

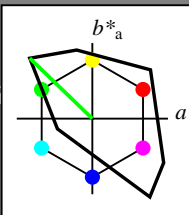
$g^*_{C,rel} = 59$

**Ausgabe: Farbmetrisches Fernseh-Licht-System TLS00**

für Buntton  $h^* = lab^*h = 136/360 = 0.378$   
 $lab^*tch$  und  $lab^*nch$

D65: Buntton L  
 LCH\*Ma: 84 115 136  
 olv\*Ma: 0.0 1.0 0.0

Dreiecks-Helligkeit



%Umfang

$u^*_{rel} = 158$

1,00

↑

1,00

↑

0,75

↑

0,50

↑

0,25

↑

0,00

↑

0,00

↑

0,00

↑

0,00

↑

0,00

↑

0,00

↑

0,00

↑

0,00

↑

0,00

↑

0,00

↑

0,00

↑

0,00

↑

0,00

↑

0,00

↑

0,00

**TLS00; adaptierte CIELAB-Daten**

	$L^* = L^*_a$	$a^*_a$	$b^*_a$	$C^*_{ab,a}$	$h^*_{ab,a}$
O <sub>Ma</sub>	50.5	76.92	64.55	100.42	40
Y <sub>Ma</sub>	92.66	-20.69	90.75	93.08	103
L <sub>Ma</sub>	83.63	-82.75	79.9	115.04	136
C <sub>Ma</sub>	86.88	-46.16	-13.55	48.12	196
V <sub>Ma</sub>	30.39	76.06	-103.59	128.52	306
M <sub>Ma</sub>	57.3	94.35	-58.41	110.97	328
N <sub>Ma</sub>	0.01	0.0	0.0	0.0	0
W <sub>Ma</sub>	95.41	0.0	0.0	0.0	0
R <sub>CIE</sub>	39.92	58.74	27.99	65.07	25
J <sub>CIE</sub>	81.26	-2.88	71.56	71.62	92
G <sub>CIE</sub>	52.23	-42.41	13.6	44.55	162
B <sub>CIE</sub>	30.57	1.41	-46.46	46.49	272

%Regularität

$g^*_{H,rel} = 20$

$g^*_{C,rel} = 37$

1,00

↑

1,00

↑

0,75

↑

0,50

↑

0,25

↑

0,00

↑

0,00

↑

0,00

↑

0,00

↑

0,00

↑

0,00

↑

0,00

↑

0,00

↑

0,00

↑

0,00

↑

0,00

↑

0,00

↑

0,00

↑

0,00

↑

0,00

NG400-7, 5stufige Reihen für konstanten CIELAB Buntton 151/360 = 0.419 (links)

5stufige Reihen für konstanten CIELAB Buntton 136/360 = 0.378 (rechts)

BAM-Prüfvorlage NG40; Farbmetrik-Systeme ORS18 & TLS00 input:  $olv^* setrgbcolor$

D65: 5stufige Farbreihen und Koordinatendaten für 10 Bunttöne output:  $olv^* setrgbcolor / w^* setgray$

Siehe ähnliche Dateien: <http://www.ps.bam.de/NG40/>  
 Technische Information: <http://www.ps.bam.de/Version 2.1, io=1,1, CIELAB>

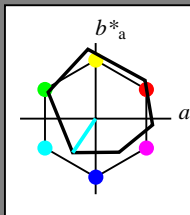
BAM-Registrierung: 20060101-NG40/10L/L40G02FP.PS/.PDF BAM-Material: Code=thata  
 Anwendung für Beurteilung und Messung von Drucker- oder Monitorssystemen  
 /NG40/ Form: 3/10, Serie: 1/1, Seite: 3  
 Schanz hung 3

**Eingabe: Farbmetrisches Offset-Reflektiv-System ORS18**

für Buntton  $h^* = lab^*h = 236/360 = 0.656$   
 $lab^*tch$  und  $lab^*nch$

D65: Buntton C  
 LCH\*Ma: 59 54 236  
 olv\*Ma: 0.0 1.0 1.0

Dreiecks-Helligkeit



**ORS18; adaptierte CIELAB-Daten**

	$L^* = L^*_a$	$a^*_a$	$b^*_a$	$C^*_{ab,a}$	$h^*_{ab,a}$
O <sub>Ma</sub>	47.94	65.39	50.52	82.63	38
Y <sub>Ma</sub>	90.37	-10.26	91.75	92.32	96
L <sub>Ma</sub>	50.9	-62.83	34.96	71.91	151
C <sub>Ma</sub>	58.62	-30.34	-45.01	54.3	236
V <sub>Ma</sub>	25.72	31.1	-44.4	54.22	305
M <sub>Ma</sub>	48.13	75.28	-8.36	75.74	354
N <sub>Ma</sub>	18.01	0.0	0.0	0.0	0
W <sub>Ma</sub>	95.41	0.0	0.0	0.0	0
R <sub>CIE</sub>	39.92	58.66	26.98	64.57	25
J <sub>CIE</sub>	81.26	-2.16	67.76	67.79	92
G <sub>CIE</sub>	52.23	-42.25	11.76	43.87	164
B <sub>CIE</sub>	30.57	1.15	-46.84	46.86	271

%Regularität

$g^*_{H,rel} = 57$

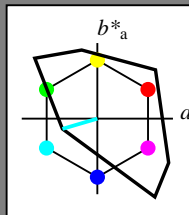
$g^*_{C,rel} = 59$

**Ausgabe: Farbmetrisches Fernseh-Licht-System TLS00**

für Buntton  $h^* = lab^*h = 196/360 = 0.545$   
 $lab^*tch$  und  $lab^*nch$

D65: Buntton C  
 LCH\*Ma: 87 48 196  
 olv\*Ma: 0.0 1.0 1.0

Dreiecks-Helligkeit



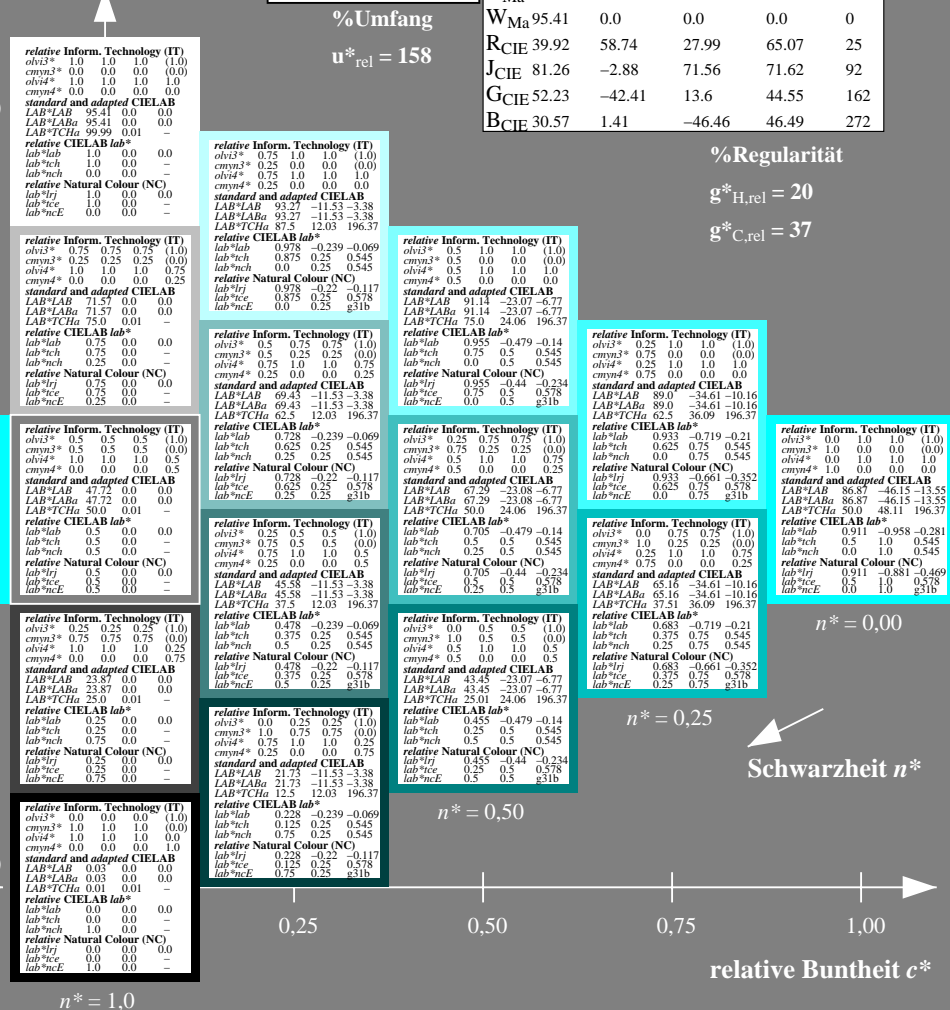
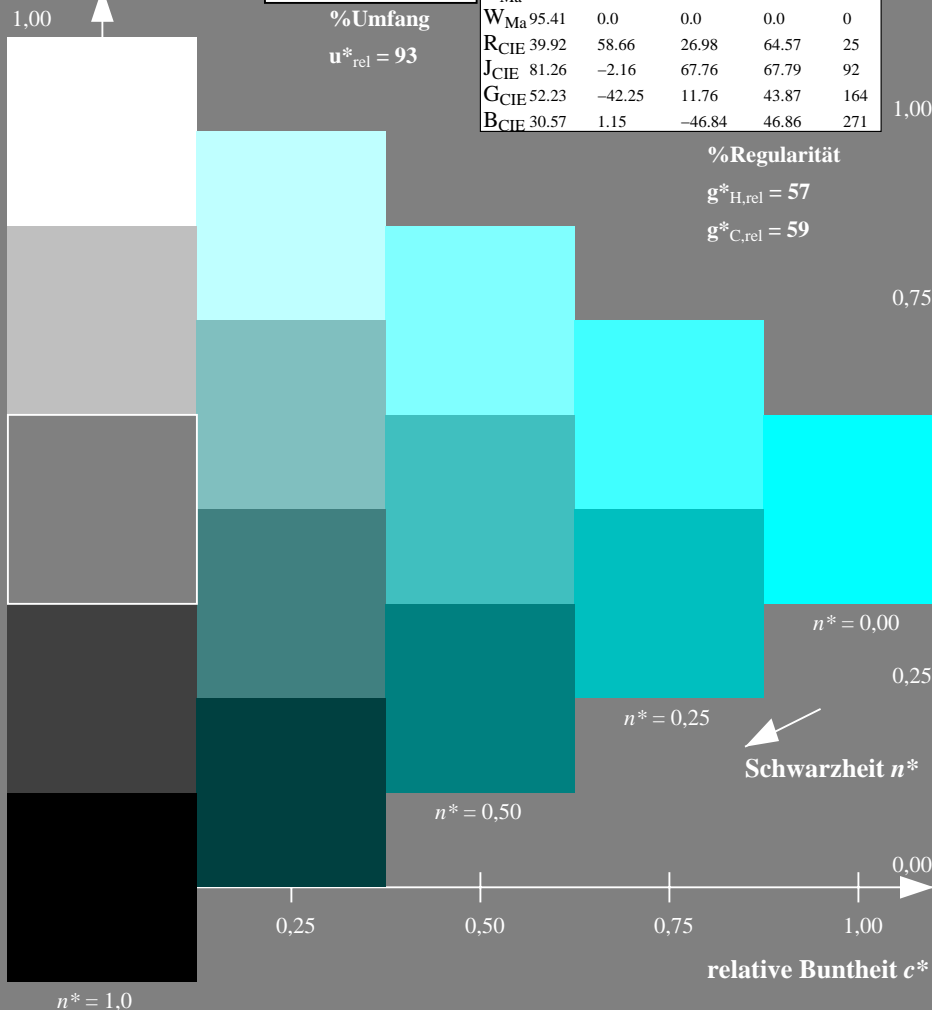
**TLS00; adaptierte CIELAB-Daten**

	$L^* = L^*_a$	$a^*_a$	$b^*_a$	$C^*_{ab,a}$	$h^*_{ab,a}$
O <sub>Ma</sub>	50.5	76.92	64.55	100.42	40
Y <sub>Ma</sub>	92.66	-20.69	90.75	93.08	103
L <sub>Ma</sub>	83.63	-82.75	79.9	115.04	136
C <sub>Ma</sub>	86.88	-46.16	-13.55	48.12	196
V <sub>Ma</sub>	30.39	76.06	-103.59	128.52	306
M <sub>Ma</sub>	57.3	94.35	-58.41	110.97	328
N <sub>Ma</sub>	0.01	0.0	0.0	0.0	0
W <sub>Ma</sub>	95.41	0.0	0.0	0.0	0
R <sub>CIE</sub>	39.92	58.74	27.99	65.07	25
J <sub>CIE</sub>	81.26	-2.88	71.56	71.62	92
G <sub>CIE</sub>	52.23	-42.41	13.6	44.55	162
B <sub>CIE</sub>	30.57	1.41	-46.46	46.49	272

%Regularität

$g^*_{H,rel} = 20$

$g^*_{C,rel} = 37$



NG400-7, 5stufige Reihen für konstanten CIELAB Buntton 236/360 = 0.656 (links)

5 stufige Reihen für konstanten CIELAB Buntton 196/360 = 0.545 (rechts)

BAM-Prüfvorlage NG40; Farbmetrik-Systeme ORS18 & TLS00 input:  $olv^* setrgbcolor$   
 D65: 5stufige Farbreihen und Koordinatendaten für 10 Bunttöne output:  $olv^* setrgbcolor / w^* setgray$

Siehe ähnliche Dateien: <http://www.ps.bam.de/NG40/>  
 Technische Information: <http://www.ps.bam.de/Version 2.1, io=1,1, CIELAB>

BAM-Registrierung: 20060101-NG40/10L/L40G03FP.PS/.PDF BAM-Material: Code=thakta  
 Anwendung für Beurteilung und Messung von Drucker- oder Monitorssystemen  
 Form: 4/10, Serie: 1/1, Seite: 4  
 Scherz hung 4

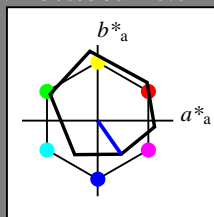


**Eingabe: Farbmetrisches Offset-Reflektiv-System ORS18**

für Buntton  $h^* = lab^*h = 305/360 = 0.847$   
 $lab^*tch$  und  $lab^*nch$

D65: Buntton V  
 LCH\*Ma: 26 54 305  
 olv\*Ma: 0.0 0.0 1.0

Dreiecks-Helligkeit



**ORS18; adaptierte CIELAB-Daten**

	$L^* = L^*_a$	$a^*_a$	$b^*_a$	$C^*_{ab,a}$	$h^*_{ab,a}$
O <sub>Ma</sub>	47.94	65.39	50.52	82.63	38
Y <sub>Ma</sub>	90.37	-10.26	91.75	92.32	96
L <sub>Ma</sub>	50.9	-62.83	34.96	71.91	151
C <sub>Ma</sub>	58.62	-30.34	-45.01	54.3	236
V <sub>Ma</sub>	25.72	31.1	-44.4	54.22	305
M <sub>Ma</sub>	48.13	75.28	-8.36	75.74	354
N <sub>Ma</sub>	18.01	0.0	0.0	0.0	0
W <sub>Ma</sub>	95.41	0.0	0.0	0.0	0
R <sub>CIE</sub>	39.92	58.66	26.98	64.57	25
J <sub>CIE</sub>	81.26	-2.16	67.76	67.79	92
G <sub>CIE</sub>	52.23	-42.25	11.76	43.87	164
B <sub>CIE</sub>	30.57	1.15	-46.84	46.86	271

%Regularität

$g^*_{H,rel} = 57$

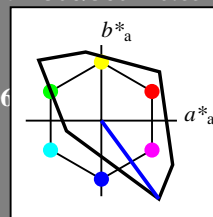
$g^*_{C,rel} = 59$

**Ausgabe: Farbmetrisches Fernseh-Licht-System TLS00**

für Buntton  $h^* = lab^*h = 306/360 = 0.851$   
 $lab^*tch$  und  $lab^*nch$

D65: Buntton V  
 LCH\*Ma: 30 129 306  
 olv\*Ma: 0.0 0.0 1.0

Dreiecks-Helligkeit



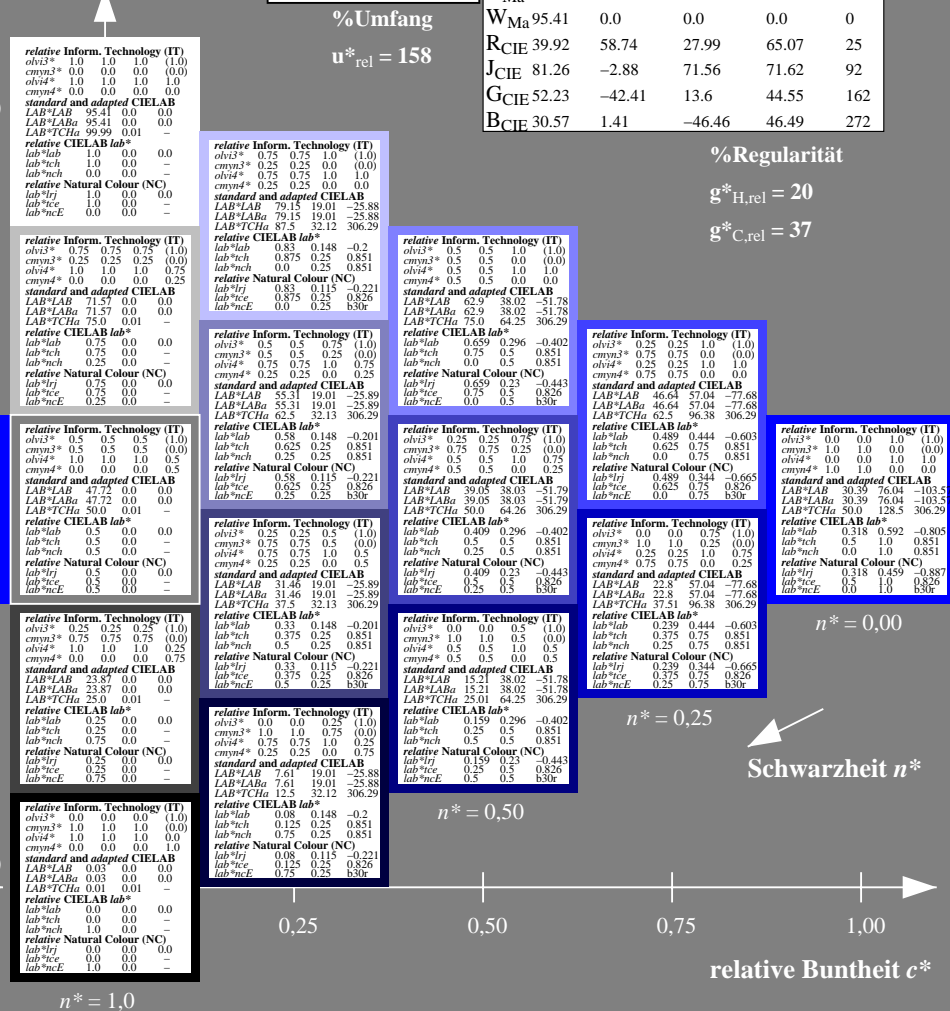
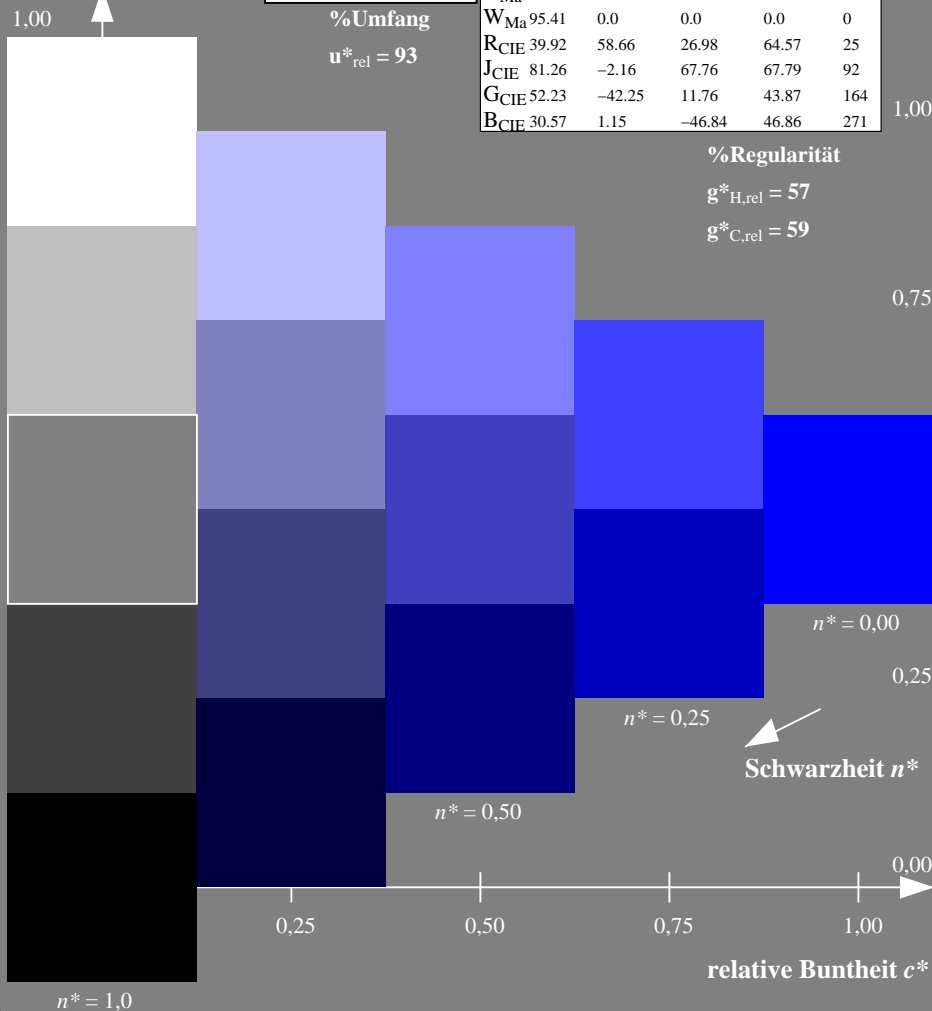
**TLS00; adaptierte CIELAB-Daten**

	$L^* = L^*_a$	$a^*_a$	$b^*_a$	$C^*_{ab,a}$	$h^*_{ab,a}$
O <sub>Ma</sub>	50.5	76.92	64.55	100.42	40
Y <sub>Ma</sub>	92.66	-20.69	90.75	93.08	103
L <sub>Ma</sub>	83.63	-82.75	79.9	115.04	136
C <sub>Ma</sub>	86.88	-46.16	-13.55	48.12	196
V <sub>Ma</sub>	30.39	76.06	-103.59	128.52	306
M <sub>Ma</sub>	57.3	94.35	-58.41	110.97	328
N <sub>Ma</sub>	0.01	0.0	0.0	0.0	0
W <sub>Ma</sub>	95.41	0.0	0.0	0.0	0
R <sub>CIE</sub>	39.92	58.74	27.99	65.07	25
J <sub>CIE</sub>	81.26	-2.88	71.56	71.62	92
G <sub>CIE</sub>	52.23	-42.41	13.6	44.55	162
B <sub>CIE</sub>	30.57	1.41	-46.46	46.49	272

%Regularität

$g^*_{H,rel} = 20$

$g^*_{C,rel} = 37$



NG400-7, 5stufige Reihen für konstanten CIELAB Buntton 305/360 = 0.847 (links)

5stufige Reihen für konstanten CIELAB Buntton 306/360 = 0.851 (rechts)

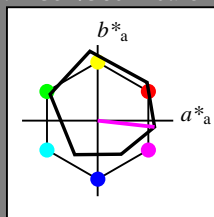
BAM-Prüfvorlage NG40; Farbmetrik-Systeme ORS18 & TLS00 input:  $olv^* setrgbcolor$   
 D65: 5stufige Farbreihen und Koordinatendaten für 10 Bunttöne output:  $olv^* setrgbcolor / w^* setgray$

**Eingabe: Farbmetrisches Offset-Reflektiv-System ORS18**

für Buntton  $h^* = lab^*h = 354/360 = 0.982$   
 $lab^*tch$  und  $lab^*nch$

D65: Buntton M  
 LCH\*Ma: 48 76 354  
 olv\*Ma: 1.0 0.0 1.0

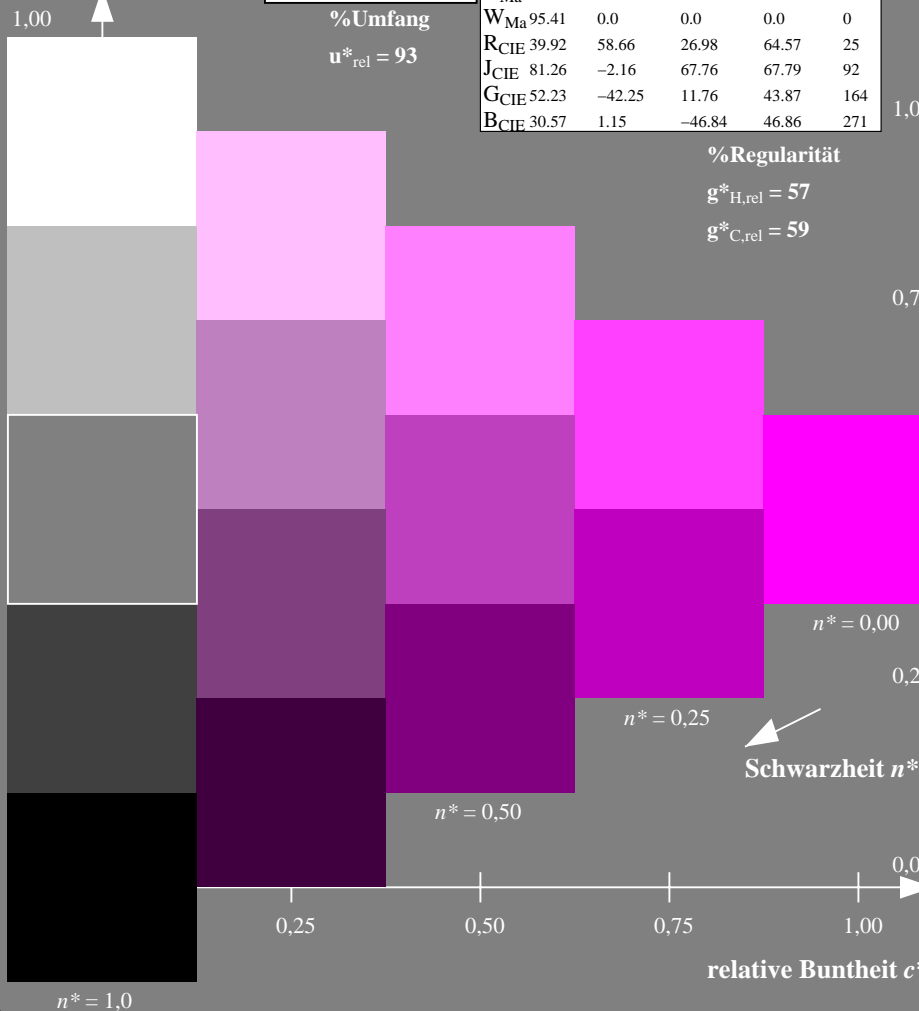
Dreiecks-Helligkeit



**ORS18; adaptierte CIELAB-Daten**

	$L^* = L^*_a$	$a^*_a$	$b^*_a$	$C^*_{ab,a}$	$h^*_{ab,a}$
O <sub>Ma</sub>	47.94	65.39	50.52	82.63	38
Y <sub>Ma</sub>	90.37	-10.26	91.75	92.32	96
L <sub>Ma</sub>	50.9	-62.83	34.96	71.91	151
C <sub>Ma</sub>	58.62	-30.34	-45.01	54.3	236
V <sub>Ma</sub>	25.72	31.1	-44.4	54.22	305
M <sub>Ma</sub>	48.13	75.28	-8.36	75.74	354
N <sub>Ma</sub>	18.01	0.0	0.0	0.0	0
W <sub>Ma</sub>	95.41	0.0	0.0	0.0	0
R <sub>CIE</sub>	39.92	58.66	26.98	64.57	25
J <sub>CIE</sub>	81.26	-2.16	67.76	67.79	92
G <sub>CIE</sub>	52.23	-42.25	11.76	43.87	164
B <sub>CIE</sub>	30.57	1.15	-46.84	46.86	271

%Regularität  
 $g^*_{H,rel} = 57$   
 $g^*_{C,rel} = 59$



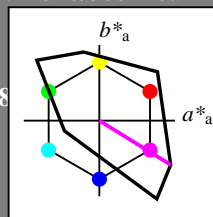
NG400-7, 5stufige Reihen für konstanten CIELAB Buntton 354/360 = 0.982 (links)

**Ausgabe: Farbmetrisches Fernseh-Licht-System TLS00**

für Buntton  $h^* = lab^*h = 328/360 = 0.912$   
 $lab^*tch$  und  $lab^*nch$

D65: Buntton M  
 LCH\*Ma: 57 111 328  
 olv\*Ma: 1.0 0.0 1.0

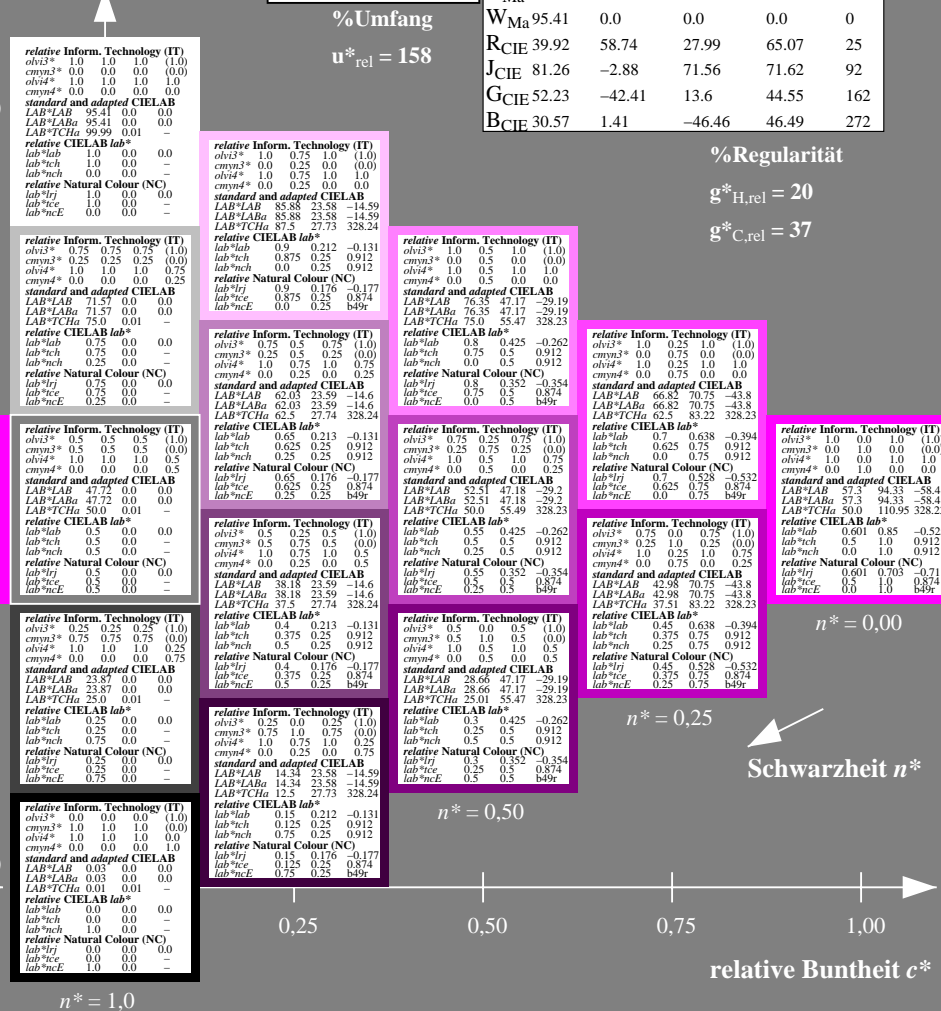
Dreiecks-Helligkeit



**TLS00; adaptierte CIELAB-Daten**

	$L^* = L^*_a$	$a^*_a$	$b^*_a$	$C^*_{ab,a}$	$h^*_{ab,a}$
O <sub>Ma</sub>	50.5	76.92	64.55	100.42	40
Y <sub>Ma</sub>	92.66	-20.69	90.75	93.08	103
L <sub>Ma</sub>	83.63	-82.75	79.9	115.04	136
C <sub>Ma</sub>	86.88	-46.16	-13.55	48.12	196
V <sub>Ma</sub>	30.39	76.06	-103.59	128.52	306
M <sub>Ma</sub>	57.3	94.35	-58.41	110.97	328
N <sub>Ma</sub>	0.01	0.0	0.0	0.0	0
W <sub>Ma</sub>	95.41	0.0	0.0	0.0	0
R <sub>CIE</sub>	39.92	58.74	27.99	65.07	25
J <sub>CIE</sub>	81.26	-2.88	71.56	71.62	92
G <sub>CIE</sub>	52.23	-42.41	13.6	44.55	162
B <sub>CIE</sub>	30.57	1.41	-46.46	46.49	272

%Regularität  
 $g^*_{H,rel} = 20$   
 $g^*_{C,rel} = 37$



5 stufige Reihen für konstanten CIELAB Buntton 328/360 = 0.912 (rechts)

BAM-Prüfvorlage NG40; Farbmetrik-Systeme ORS18 & TLS00 input:  $olv^* setrgbcolor$   
 D65: 5stufige Farbreihen und Koordinatendaten für 10 Bunttöne output:  $olv^* setrgbcolor / w^* setgray$

Siehe ähnliche Dateien: <http://www.ps.bam.de/NG40/>  
 Technische Information: <http://www.ps.bam.de/Version 2.1, io=1.1, CIELAB>

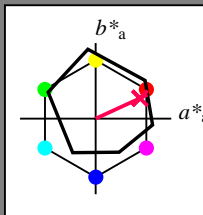
BAM-Registrierung: 20060101-NG40/10L/L40G05FP.PS/.PDF BAM-Material: Code=thakta  
 Anwendung für Beurteilung und Messung von Drucker- oder Monitorssystemen  
 NG40/ Form 6/10, Serie: 1/1, Seite: 6  
 Scherzhang 6

### Eingabe: Farbmatisches Offset-Reflektiv-System ORS18

für Bunnton  $h^* = lab^*h = 25/360 = 0.069$   
 $lab^*tch$  und  $lab^*nch$

D65: Bunnton R  
 LCH\*Ma: 48 75 25  
 olv\*Ma: 1.0 0.0 0.32

Dreiecks-Helligkeit



%Umfang

$u^*_{rel} = 93$

1,00



### ORS18; adaptierte CIELAB-Daten

	$L^* = L^*_a$	$a^*_a$	$b^*_a$	$C^*_{ab,a}$	$h^*_{ab,a}$
O <sub>Ma</sub>	47.94	65.39	50.52	82.63	38
Y <sub>Ma</sub>	90.37	-10.26	91.75	92.32	96
L <sub>Ma</sub>	50.9	-62.83	34.96	71.91	151
C <sub>Ma</sub>	58.62	-30.34	-45.01	54.3	236
V <sub>Ma</sub>	25.72	31.1	-44.4	54.22	305
M <sub>Ma</sub>	48.13	75.28	-8.36	75.74	354
N <sub>Ma</sub>	18.01	0.0	0.0	0.0	0
W <sub>Ma</sub>	95.41	0.0	0.0	0.0	0
R <sub>CIE</sub>	39.92	58.66	26.98	64.57	25
J <sub>CIE</sub>	81.26	-2.16	67.76	67.79	92
G <sub>CIE</sub>	52.23	-42.25	11.76	43.87	164
B <sub>CIE</sub>	30.57	1.15	-46.84	46.86	271

%Regularität

$g^*_{H,rel} = 57$

$g^*_{C,rel} = 59$

0,75

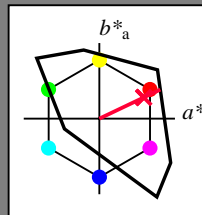


### Ausgabe: Farbmatisches Fernseh-Licht-System TLS00

für Bunnton  $h^* = lab^*h = 25/360 = 0.071$   
 $lab^*tch$  und  $lab^*nch$

D65: Bunnton R  
 LCH\*Ma: 52 89 25  
 olv\*Ma: 1.0 0.0 0.21

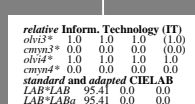
Dreiecks-Helligkeit



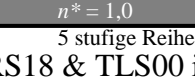
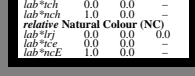
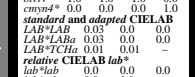
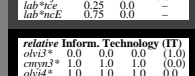
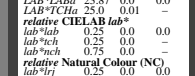
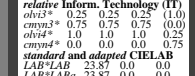
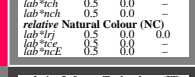
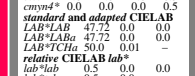
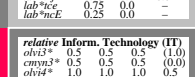
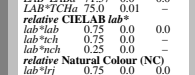
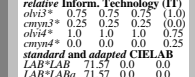
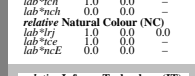
%Umfang

$u^*_{rel} = 158$

1,00



0,75



### TLS00; adaptierte CIELAB-Daten

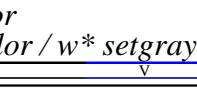
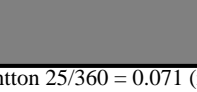
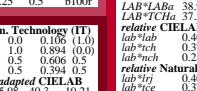
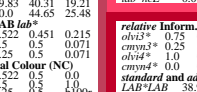
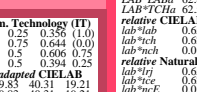
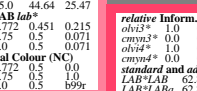
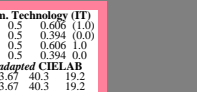
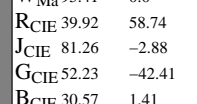
	$L^* = L^*_a$	$a^*_a$	$b^*_a$	$C^*_{ab,a}$	$h^*_{ab,a}$
O <sub>Ma</sub>	50.5	76.92	64.55	100.42	40
Y <sub>Ma</sub>	92.66	-20.69	90.75	93.08	103
L <sub>Ma</sub>	83.63	-82.75	79.9	115.04	136
C <sub>Ma</sub>	86.88	-46.16	-13.55	48.12	196
V <sub>Ma</sub>	30.39	76.06	-103.59	128.52	306
M <sub>Ma</sub>	57.3	94.35	-58.41	110.97	328
N <sub>Ma</sub>	0.01	0.0	0.0	0.0	0
W <sub>Ma</sub>	95.41	0.0	0.0	0.0	0
R <sub>CIE</sub>	39.92	58.74	27.99	65.07	25
J <sub>CIE</sub>	81.26	-2.88	71.56	71.62	92
G <sub>CIE</sub>	52.23	-42.41	13.6	44.55	162
B <sub>CIE</sub>	30.57	1.41	-46.46	46.49	272

%Regularität

$g^*_{H,rel} = 20$

$g^*_{C,rel} = 37$

0,75



Schwarzheit  $n^*$

Schwarzheit  $n^*$

NG400-7, 5 stufige Reihen für konstanten CIELAB Bunnton 25/360 = 0.069 (links)

5 stufige Reihen für konstanten CIELAB Bunnton 25/360 = 0.071 (rechts)

BAM-Prüfvorlage NG40; Farbmatrik-Systeme ORS18 & TLS00 input:  $olv^* setrgbcolor$

D65: 5stufige Farbreihen und Koordinatendaten für 10 Bunttöne output:  $olv^* setrgbcolor / w^* setgray$

Siehe ähnliche Dateien: <http://www.ps.bam.de/NG40/>  
 Technische Information: <http://www.ps.bam.de/Version 2.1, io=1,1, CIELAB>

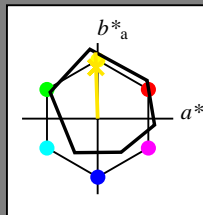
BAM-Registrierung: 20060101-NG40/10L/L40G06FP.PS/.PDF BAM-Material: Code=th4ta  
 Anwendung für Beurteilung und Messung von Drucker- oder Monitorsystemen

**Eingabe: Farbmetrisches Offset-Reflektiv-System ORS18**

für Buntton  $h^* = lab^*h = 92/360 = 0.255$   
 $lab^*tch$  und  $lab^*nch$

D65: Buntton J  
 LCH\*Ma: 86 88 92  
 olv\*Ma: 1.0 0.9 0.0

Dreiecks-Helligkeit



**ORS18; adaptierte CIELAB-Daten**

	$L^* = L^*_a$	$a^*_a$	$b^*_a$	$C^*_{ab,a}$	$h^*_{ab,a}$
O <sub>Ma</sub>	47.94	65.39	50.52	82.63	38
Y <sub>Ma</sub>	90.37	-10.26	91.75	92.32	96
L <sub>Ma</sub>	50.9	-62.83	34.96	71.91	151
C <sub>Ma</sub>	58.62	-30.34	-45.01	54.3	236
V <sub>Ma</sub>	25.72	31.1	-44.4	54.22	305
M <sub>Ma</sub>	48.13	75.28	-8.36	75.74	354
N <sub>Ma</sub>	18.01	0.0	0.0	0.0	0
W <sub>Ma</sub>	95.41	0.0	0.0	0.0	0
R <sub>CIE</sub>	39.92	58.66	26.98	64.57	25
J <sub>CIE</sub>	81.26	-2.16	67.76	67.79	92
G <sub>CIE</sub>	52.23	-42.25	11.76	43.87	164
B <sub>CIE</sub>	30.57	1.15	-46.84	46.86	271

%Regularität

$g^*_{H,rel} = 57$

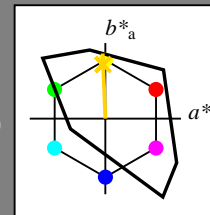
$g^*_{C,rel} = 59$

**Ausgabe: Farbmetrisches Fernseh-Licht-System TLS00**

für Buntton  $h^* = lab^*h = 92/360 = 0.256$   
 $lab^*tch$  und  $lab^*nch$

D65: Buntton J  
 LCH\*Ma: 85 86 92  
 olv\*Ma: 1.0 0.82 0.0

Dreiecks-Helligkeit



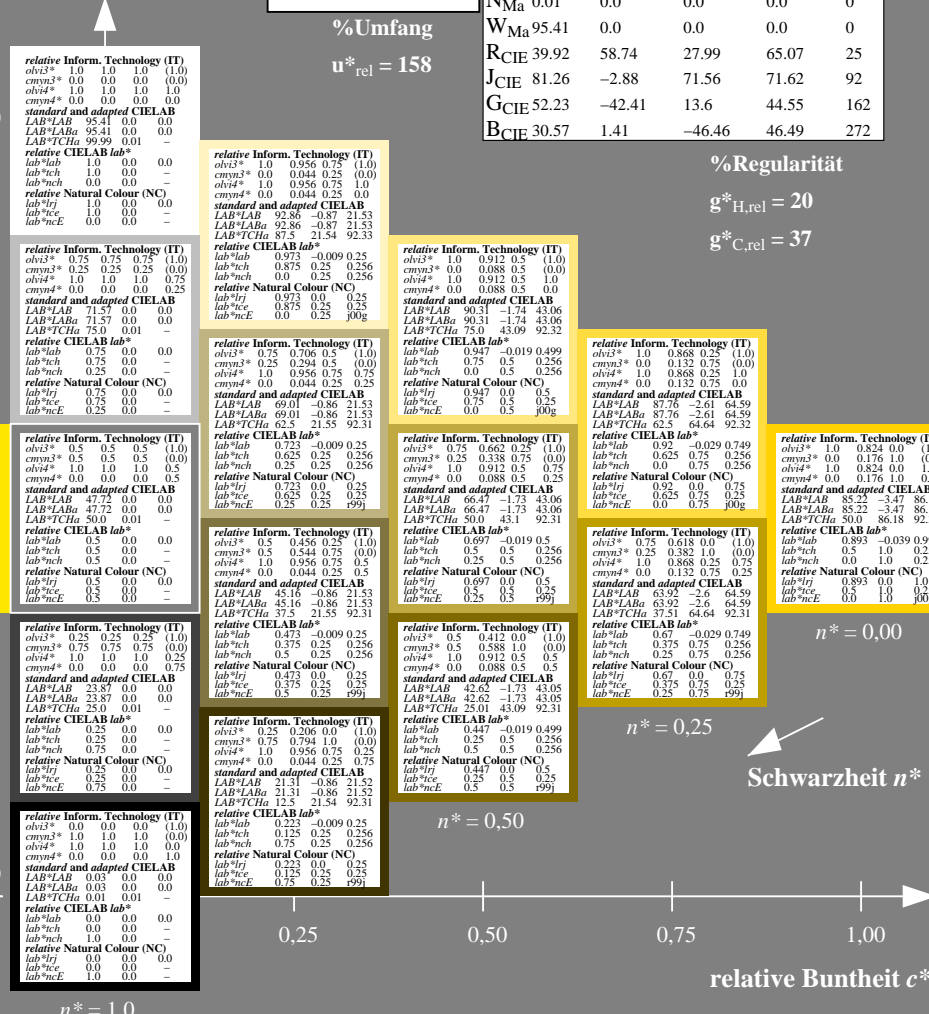
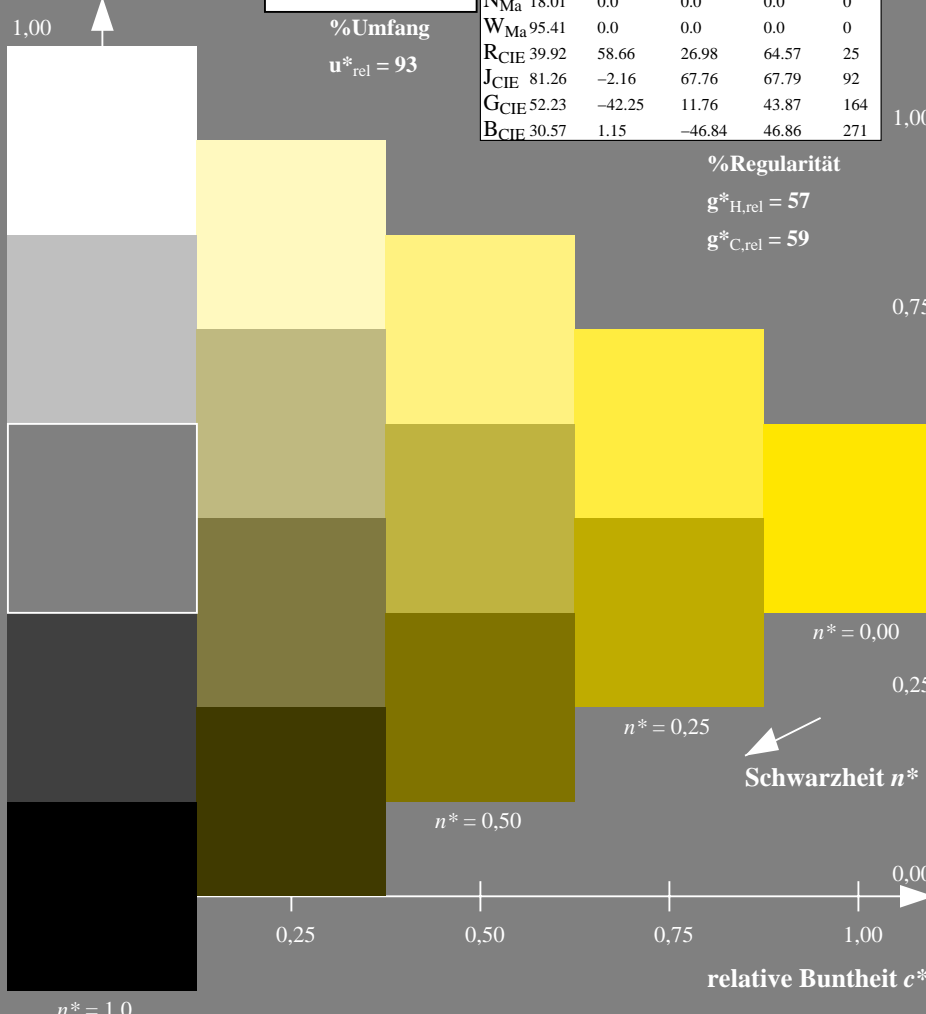
**TLS00; adaptierte CIELAB-Daten**

	$L^* = L^*_a$	$a^*_a$	$b^*_a$	$C^*_{ab,a}$	$h^*_{ab,a}$
O <sub>Ma</sub>	50.5	76.92	64.55	100.42	40
Y <sub>Ma</sub>	92.66	-20.69	90.75	93.08	103
L <sub>Ma</sub>	83.63	-82.75	79.9	115.04	136
C <sub>Ma</sub>	86.88	-46.16	-13.55	48.12	196
V <sub>Ma</sub>	30.39	76.06	-103.59	128.52	306
M <sub>Ma</sub>	57.3	94.35	-58.41	110.97	328
N <sub>Ma</sub>	0.01	0.0	0.0	0.0	0
W <sub>Ma</sub>	95.41	0.0	0.0	0.0	0
R <sub>CIE</sub>	39.92	58.74	27.99	65.07	25
J <sub>CIE</sub>	81.26	-2.88	71.56	71.62	92
G <sub>CIE</sub>	52.23	-42.41	13.6	44.55	162
B <sub>CIE</sub>	30.57	1.41	-46.46	46.49	272

%Regularität

$g^*_{H,rel} = 20$

$g^*_{C,rel} = 37$



NG400-7, 5stufige Reihen für konstanten CIELAB Buntton  $92/360 = 0.255$  (links)

5stufige Reihen für konstanten CIELAB Buntton  $92/360 = 0.256$  (rechts)

BAM-Prüfvorlage NG40; Farbmetrik-Systeme ORS18 & TLS00 input:  $olv^* setrgbcolor$   
 D65: 5stufige Farbreihen und Koordinatendaten für 10 Bunttöne output:  $olv^* setrgbcolor / w^* setgray$

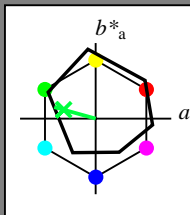


**Eingabe: Farbmetrisches Offset-Reflektiv-System ORS18**

für Buntton  $h^* = lab^*h = 164/360 = 0.457$   
 $lab^*tch$  und  $lab^*nch$

D65: Buntton G  
 LCH\*Ma: 53 57 164  
 olv\*Ma: 0.0 1.0 0.25

Dreiecks-Helligkeit



**ORS18; adaptierte CIELAB-Daten**

	$L^* = L^*_a$	$a^*_a$	$b^*_a$	$C^*_{ab,a}$	$h^*_{ab,a}$
O <sub>Ma</sub>	47.94	65.39	50.52	82.63	38
Y <sub>Ma</sub>	90.37	-10.26	91.75	92.32	96
L <sub>Ma</sub>	50.9	-62.83	34.96	71.91	151
C <sub>Ma</sub>	58.62	-30.34	-45.01	54.3	236
V <sub>Ma</sub>	25.72	31.1	-44.4	54.22	305
M <sub>Ma</sub>	48.13	75.28	-8.36	75.74	354
N <sub>Ma</sub>	18.01	0.0	0.0	0.0	0
W <sub>Ma</sub>	95.41	0.0	0.0	0.0	0
R <sub>CIE</sub>	39.92	58.66	26.98	64.57	25
J <sub>CIE</sub>	81.26	-2.16	67.76	67.79	92
G <sub>CIE</sub>	52.23	-42.25	11.76	43.87	164
B <sub>CIE</sub>	30.57	1.15	-46.84	46.86	271

%Regularität

$g^*_{H,rel} = 57$

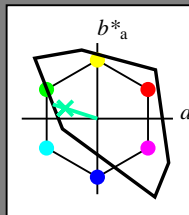
$g^*_{C,rel} = 59$

**Ausgabe: Farbmetrisches Fernseh-Licht-System TLS00**

für Buntton  $h^* = lab^*h = 162/360 = 0.451$   
 $lab^*tch$  und  $lab^*nch$

D65: Buntton G  
 LCH\*Ma: 86 62 162  
 olv\*Ma: 0.0 1.0 0.65

Dreiecks-Helligkeit



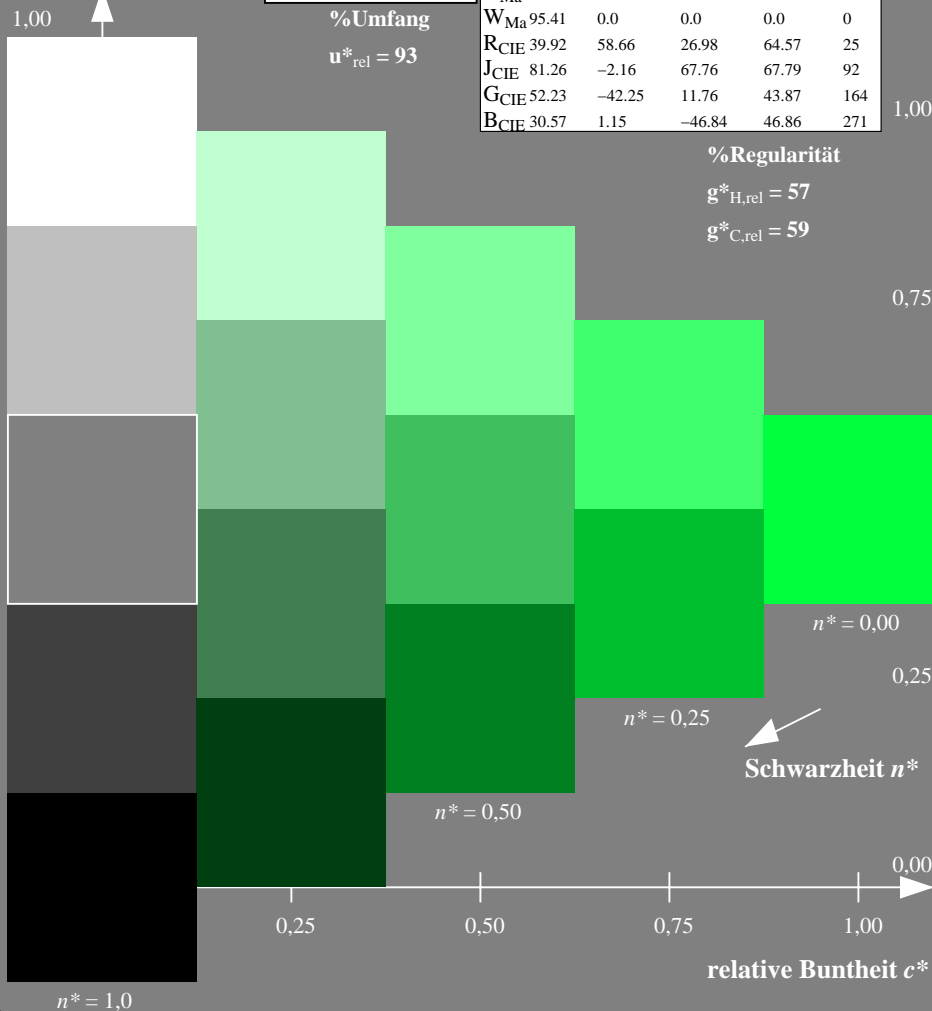
**TLS00; adaptierte CIELAB-Daten**

	$L^* = L^*_a$	$a^*_a$	$b^*_a$	$C^*_{ab,a}$	$h^*_{ab,a}$
O <sub>Ma</sub>	50.5	76.92	64.55	100.42	40
Y <sub>Ma</sub>	92.66	-20.69	90.75	93.08	103
L <sub>Ma</sub>	83.63	-82.75	79.9	115.04	136
C <sub>Ma</sub>	86.88	-46.16	-13.55	48.12	196
V <sub>Ma</sub>	30.39	76.06	-103.59	128.52	306
M <sub>Ma</sub>	57.3	94.35	-58.41	110.97	328
N <sub>Ma</sub>	0.01	0.0	0.0	0.0	0
W <sub>Ma</sub>	95.41	0.0	0.0	0.0	0
R <sub>CIE</sub>	39.92	58.74	27.99	65.07	25
J <sub>CIE</sub>	81.26	-2.88	71.56	71.62	92
G <sub>CIE</sub>	52.23	-42.41	13.6	44.55	162
B <sub>CIE</sub>	30.57	1.41	-46.46	46.49	272

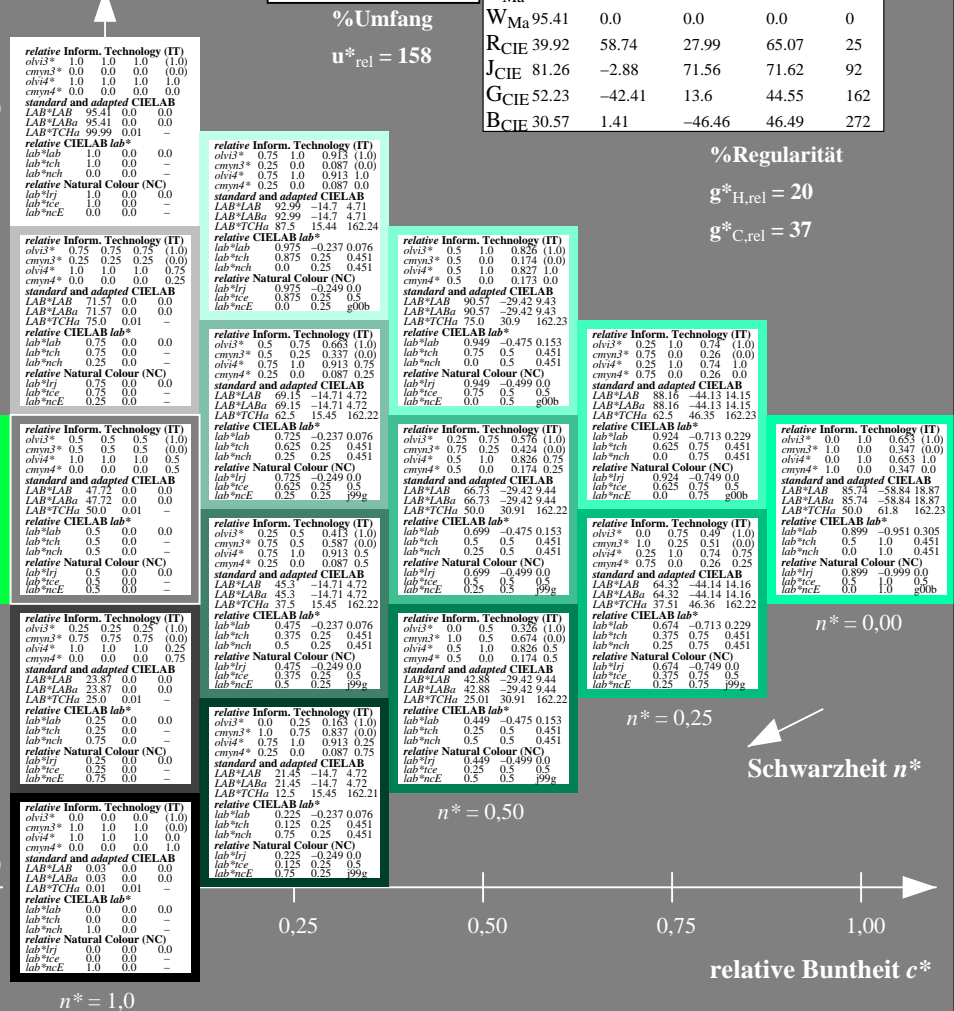
%Regularität

$g^*_{H,rel} = 20$

$g^*_{C,rel} = 37$



NG400-7, 5stufige Reihen für konstanten CIELAB Buntton 164/360 = 0.457 (links)



5 stufige Reihen für konstanten CIELAB Buntton 162/360 = 0.451 (rechts)

BAM-Prüfvorlage NG40; Farbmetrik-Systeme ORS18 & TLS00 input:  $olv^* setrgbcolor$

D65: 5stufige Farbreihen und Koordinatendaten für 10 Bunttöne output:  $olv^* setrgbcolor / w^* setgray$

Siehe ähnliche Dateien: <http://www.ps.bam.de/NG40/>  
 Technische Information: <http://www.ps.bam.de/Version 2.1, io=1.1, CIELAB>

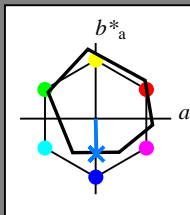
BAM-Registrierung: 20060101-NG40/10L/L40G08FP.PS/.PDF BAM-Material: Code=thakta  
 Anwendung für Beurteilung und Messung von Drucker- oder Monitorssystemen

Eingabe: Farbmatisches Offset-Reflektiv-System ORS18

für Buntton  $h^* = lab^*h = 271/360 = 0.754$   
 $lab^*tch$  und  $lab^*nch$

D65: Buntton B  
 LCH\*Ma: 42 45 271  
 olv\*Ma: 0.0 0.49 1.0

Dreiecks-Helligkeit



ORS18; adaptierte CIELAB-Daten

	$L^* = L^*_a$	$a^*_a$	$b^*_a$	$C^*_{ab,a}$	$h^*_{ab,a}$
O <sub>Ma</sub>	47.94	65.39	50.52	82.63	38
Y <sub>Ma</sub>	90.37	-10.26	91.75	92.32	96
L <sub>Ma</sub>	50.9	-62.83	34.96	71.91	151
C <sub>Ma</sub>	58.62	-30.34	-45.01	54.3	236
V <sub>Ma</sub>	25.72	31.1	-44.4	54.22	305
M <sub>Ma</sub>	48.13	75.28	-8.36	75.74	354
N <sub>Ma</sub>	18.01	0.0	0.0	0.0	0
W <sub>Ma</sub>	95.41	0.0	0.0	0.0	0
R <sub>CIE</sub>	39.92	58.66	26.98	64.57	25
J <sub>CIE</sub>	81.26	-2.16	67.76	67.79	92
G <sub>CIE</sub>	52.23	-42.25	11.76	43.87	164
B <sub>CIE</sub>	30.57	1.15	-46.84	46.86	271

%Regularität

$g^*_{H,rel} = 57$

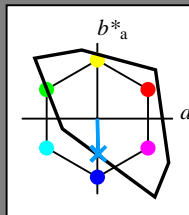
$g^*_{C,rel} = 59$

Ausgabe: Farbmatisches Fernseh-Licht-System TLS00

für Buntton  $h^* = lab^*h = 272/360 = 0.755$   
 $lab^*tch$  und  $lab^*nch$

D65: Buntton B  
 LCH\*Ma: 65 49 272  
 olv\*Ma: 0.0 0.61 1.0

Dreiecks-Helligkeit



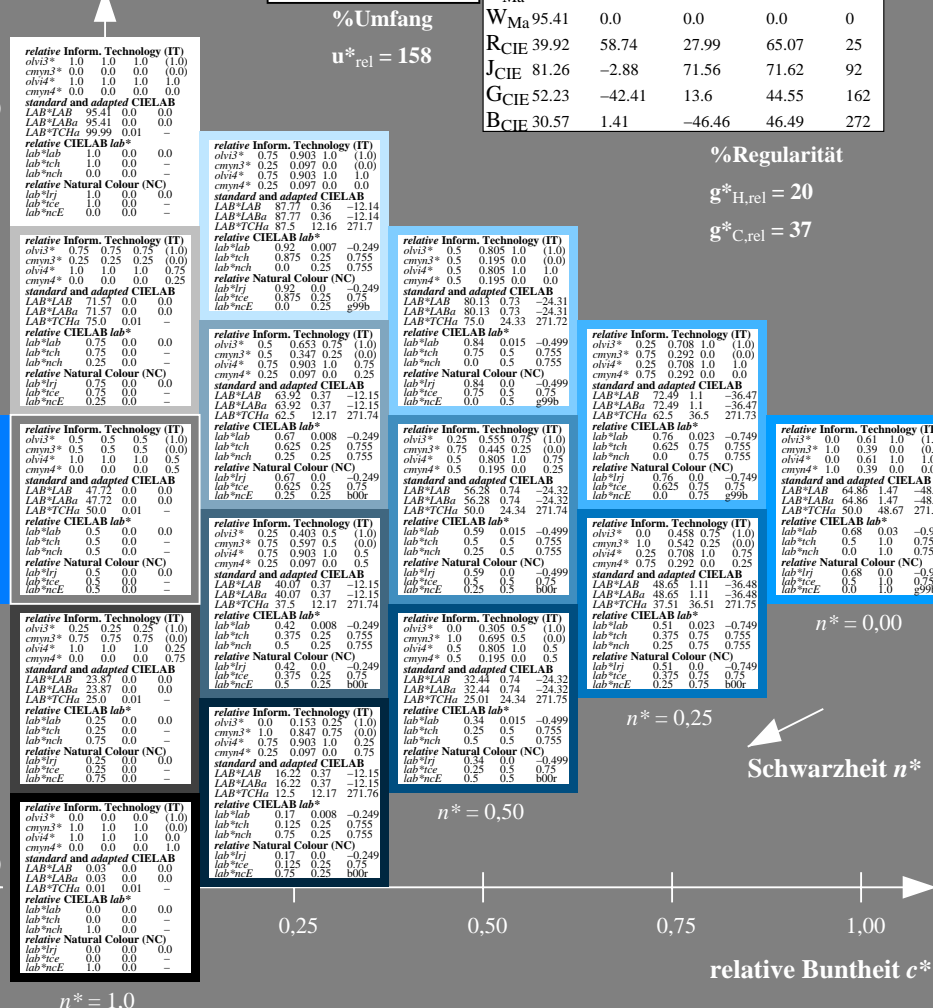
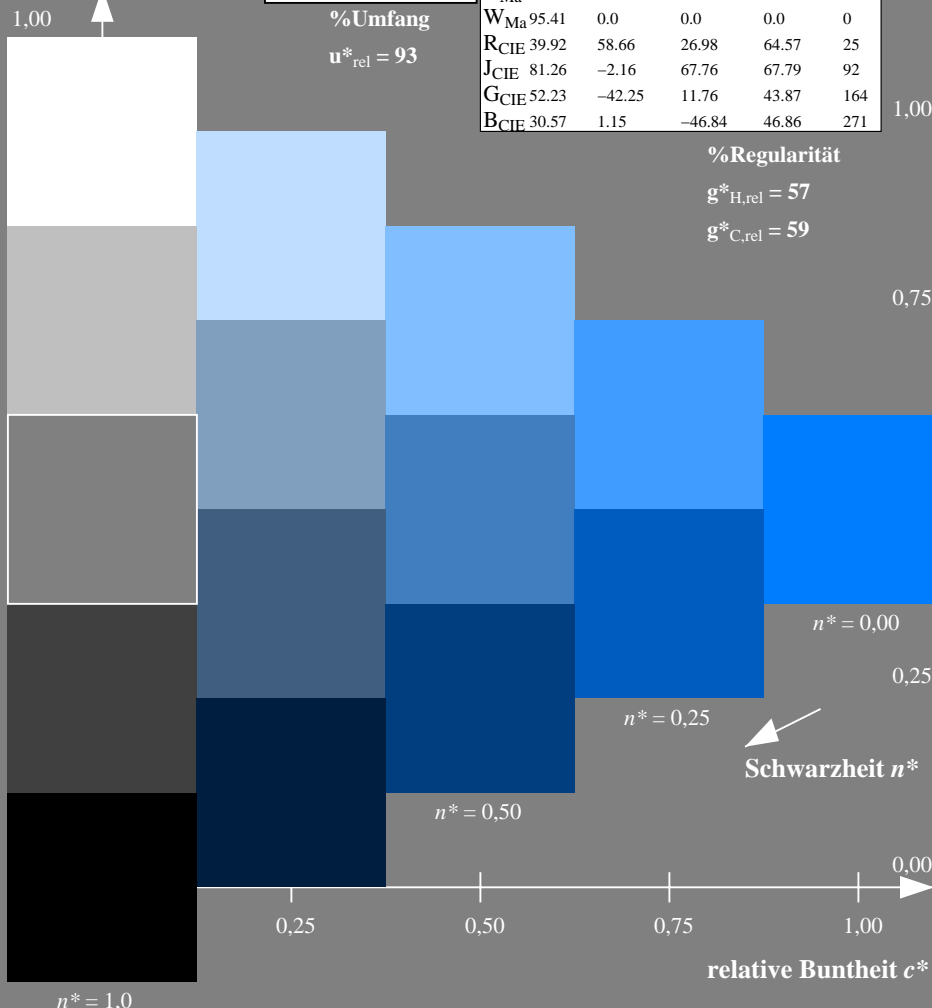
TLS00; adaptierte CIELAB-Daten

	$L^* = L^*_a$	$a^*_a$	$b^*_a$	$C^*_{ab,a}$	$h^*_{ab,a}$
O <sub>Ma</sub>	50.5	76.92	64.55	100.42	40
Y <sub>Ma</sub>	92.66	-20.69	90.75	93.08	103
L <sub>Ma</sub>	83.63	-82.75	79.9	115.04	136
C <sub>Ma</sub>	86.88	-46.16	-13.55	48.12	196
V <sub>Ma</sub>	30.39	76.06	-103.59	128.52	306
M <sub>Ma</sub>	57.3	94.35	-58.41	110.97	328
N <sub>Ma</sub>	0.01	0.0	0.0	0.0	0
W <sub>Ma</sub>	95.41	0.0	0.0	0.0	0
R <sub>CIE</sub>	39.92	58.74	27.99	65.07	25
J <sub>CIE</sub>	81.26	-2.88	71.56	71.62	92
G <sub>CIE</sub>	52.23	-42.41	13.6	44.55	162
B <sub>CIE</sub>	30.57	1.41	-46.46	46.49	272

%Regularität

$g^*_{H,rel} = 20$

$g^*_{C,rel} = 37$



NG400-7, 5stufige Reihen für konstanten CIELAB Buntton 271/360 = 0.754 (links)

5stufige Reihen für konstanten CIELAB Buntton 272/360 = 0.755 (rechts)

BAM-Prüfvorlage NG40; Farbmeter-Systeme ORS18 & TLS00 input:  $olv^* setrgbcolor$   
 D65: 5stufige Farbreihen und Koordinatendaten für 10 Bunttöne output:  $olv^* setrgbcolor / w^* setgray$